

Appunti per il corso

"Cosmologia dell'Universo primordiale"

2016 - 2017

Nicola Bartolo

Orizzonti cosmologici

$$d_H(t) = a(t) \int_0^t \frac{dt'}{a(t')} \quad (1)$$

$d_H(t)$ definisce il raggio di una sfera (centrata all'osservatore 0) entro la quale si trovano l'insieme di punti che sono stati in connessione causale con l'osservatore. In altre parole $d_H(t)$ rappresenta la massima distanza i punti di massima distanza con i quali l'osservatore 0 è entrato in connessione causale.

Come ottenere (1): $ds^2 = 0$ per un segnale di luce.

$$ds^2 = c dt^2 - a^2(t) dl^2$$

$$dl^2 = \frac{dr^2}{1-kr^2} + r^2(d\theta^2 + \sin^2\theta d\phi^2)$$

$$ds^2 = 0 \Rightarrow dl = \int_0^t \frac{cdt'}{a(t')} \Rightarrow \text{proper distance } a(t) \int_0^t \frac{cdt'}{a(t')}$$

Alcune osservazioni:

- si tratta dell'orizzonte per il passato
- se $d_H = \infty$ non c'è orizzonte; se d_H esiste finito la superficie sférica di raggio d_H centrata in 0 si dice "particle horizon" dell'osservatore al tempo t .

■ Esempio di $d_H(t)$ per le cosmologie standard ($\rho = w\rho$)

$$a(t) \propto t^\alpha$$

$$\beta = \frac{2}{3(1+w)}$$

$$\Rightarrow d_H(t) = \frac{3(1+w)ct}{1+3w} \sim ct \sim \frac{c}{H(t)}$$

soltuzione per $\Omega_w = 1$

$$t(t) = H_0 \frac{t_0}{t} = \frac{2}{3(1+w)t}$$

~~NON POSSIBILE~~

converge per $\alpha < 1$ in $t=0$,

N.B : $\alpha < 1 \Leftrightarrow w > -\frac{1}{3} \Leftrightarrow \ddot{a} < 0$ per l'eq. di Friedmann

$$\ddot{a} = -\frac{4\pi G}{3}(\rho + 3p)a$$

cioè in un universo ad espansione decelerata l'orizzonte esiste

■ Esempi particolari: - $d_H(t) = 3ct$, per Universo piatto e fatto di polvere ($w=0$) (Einstein-de Sitter)

- $d_H(t) = 2ct$, Universo piatto e fatto di radiazione

□ distinzione fra "particle horizon" orizzonte e "Hubble sphere" (4)

$$R_c = \frac{c}{H} = \frac{3}{2}(1+w)$$

$$\Omega_w=1 \rightarrow H(t) = \frac{2}{3(1+w)t} \Rightarrow R_c = \frac{3}{2}(1+w)ct = \frac{(1+3w)}{2}d_H(t) \sim d_H(t) \quad (w > -\frac{1}{3})$$

N.B.

Definemmo "Hubble time" come tempo caratteristico di espansione dell'Universo

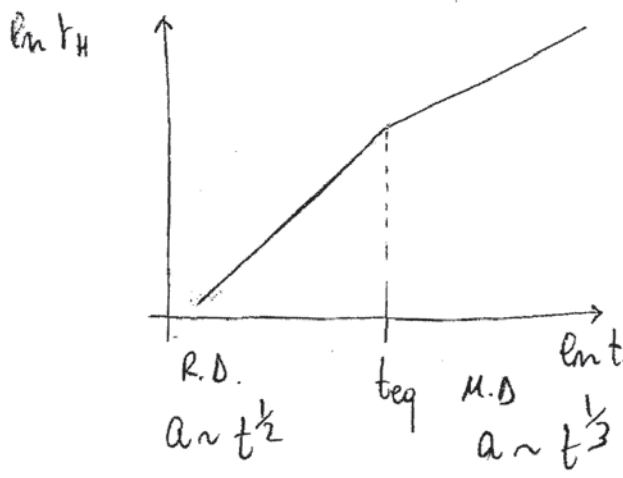
$$R_c = c\tau_H = c\frac{a}{\dot{a}} \quad \tau_H = \frac{a}{\dot{a}} = \frac{1}{H}$$

Importante: sebbene per succede che in un universo piatto $R_c \sim d_H$, "Hubble sphere" e "particle horizon" sono comunque diversi.

La differenza è che il "particle horizon" al tempo t , $d_H(t)$, tiene conto dell'intera storia passata dell'osservatore fino al tempo t , mentre il raggio di Hubble tiene conto delle connessioni causali verificate in un tempo di Hubble H^{-1} .

$$r_H(t) = \frac{R_c}{a} = \frac{1}{\dot{a}} \frac{1}{aH} = \frac{1}{\dot{a}}$$

r_H = raggio comovente di Hubble



N.B.

$$\frac{dH(t)}{dt} = \int_0^t \frac{dt'}{a(t')} = \int_0^a \frac{da'}{a'} \frac{1}{\dot{a}} = \int_0^a \frac{da'}{a'} \frac{1}{aH} = \int_0^a \frac{da'}{a'} r_H$$

questo mostra che il comoving particle horizon è dato dall'integrale logaritmico del comoving Hubble radius

Osservazioni :

- valori medi locali o globali?
- orizzonte oggi: $d_H(t_0) = \int_0^{R_c(t_0)} \frac{da'}{a'} = 2H_0 R_c(t_0)$

$$= 2H_0 = 2 \times 3000 h^{-1} \text{Mpc}$$

Limiti importanti: $\sim 100 \text{Mpc} - 3000 \text{Mpc}$ (vale dove posso addurre RW)

$H_0 = 67.8 \pm 0.9 \text{ km s}^{-1} \text{Mpc}^{-1}$ (satellite Planck 2015)

N.B.: $\lambda_{\text{phys}} = a \lambda_{\text{com}}$ in riferimento al grafico del $r_H(t)$.

5

$$\begin{aligned} \text{R.D. } a(t) \propto t^{\frac{1}{2}} &\rightarrow r_H \propto t^{\frac{1}{2}} \propto a \\ \text{U.D. } a(t) \propto t^{\frac{2}{3}} &\rightarrow r_H \propto t^{\frac{1}{2}} \propto a^{\frac{1}{3}} \end{aligned}$$

PROBLEMA dell'ORIZZONTE

Una regione di lunghezza caratteristica λ puo' diventare causalmente connessa solo quando $R_H \text{d}t_H = \lambda$.

Consideriamo gli usuali modelli di Friedmann (caso piatto fa semplificata)

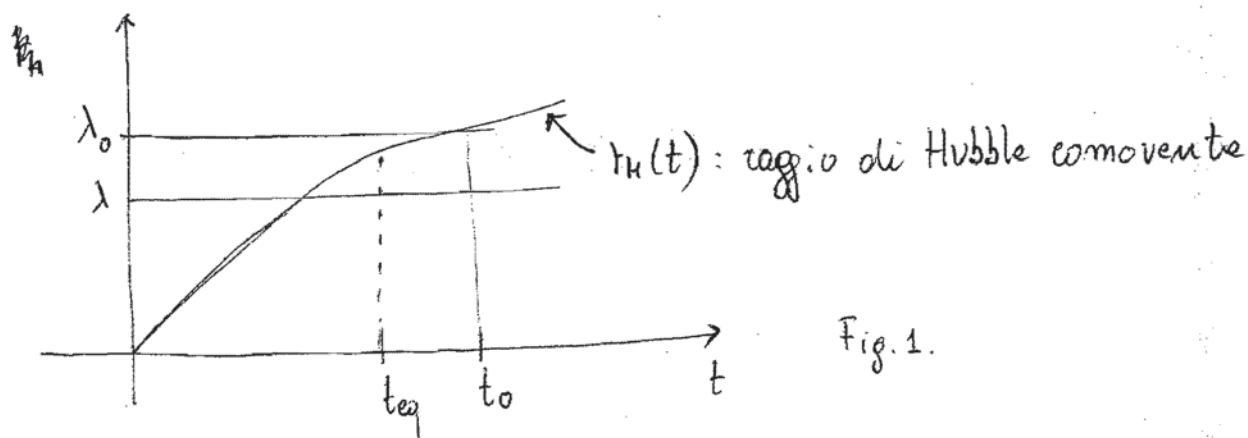


Fig. 1.

$\rightarrow \lambda_c = \text{const}$ - entra nell'orizzonte a un certo $t = t_H(\lambda)$: $\lambda_c = R_H(t_H(\lambda))$.

- Questo vuol dire che processi che si verificano a t non possono connettere causalmente la regione di dimensioni λ fino a $t \leq t_H$ quando

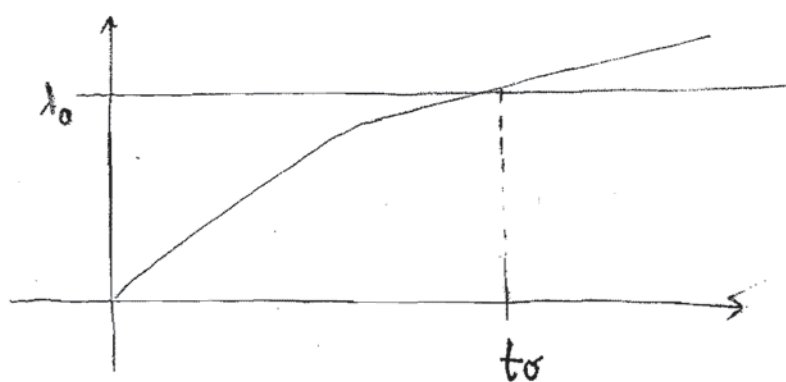


Fig. 2

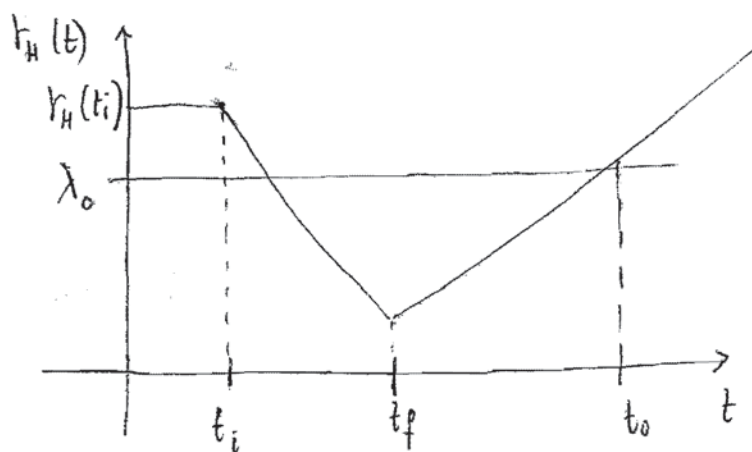
E quindi il problema dell'orizzonte e' il seguente :

Come mai zone che non erano in connessione causale hanno caratteristiche simili, come l'omogeneita' e l'isotropia, anche se all'epoca non potevano comunicare?

N.B : l'esempio di figura 2 si puo' sufficacemente applicare al caso di long-wavelengths per il CMB - (vedi Dodelson + Fig 6.1)

SOLUZIONE INFLAZIONARIA :

Posso risolvere i problemi dell'orizzonte pensando che in una prima fase dell'universo r_H sia diminuito



In questo modo le regioni di dimensioni λ entro che entrammo per la prima volta nell'orizzonte, in realtà erano già diventate causalmente connesse durante questa prima fase dell'universo \Rightarrow ho risolto i problemi della connessione causale.

In termini quantitativi:

$$r_H = \frac{1}{\dot{a}} \Rightarrow \dot{r}_H = \left(\frac{1}{\dot{a}} \right)' = - \frac{\ddot{a}}{\dot{a}^2} < 0 \Leftrightarrow \boxed{\ddot{a} > 0}$$

Quindi parleremo di inflessione in tutta generalità quando si ha che $\ddot{a} > 0$; ovvero l'espansione dell'universo prosegue in modo accelerato, cioè l'universo si è fortemente espanso (inflessione gonfiare).

$$\ddot{a} = -\frac{4\pi G}{3}(\rho + 3p)a > 0 \Leftrightarrow \rho < -\frac{1}{3}p \Leftrightarrow w = \frac{p}{\rho} < -\frac{1}{3}, \text{ cioè}$$

pressione negativa e con $p < -\frac{1}{3}\rho$.

N.B.: Per risolvere i problemi dell'orizzonte, non è sufficiente dir

che $\ddot{a} > 0$, ma ciò deve avvenire per un pauroso $\alpha \rightarrow \infty$ (8)

N.B. : Importante accennare a cosa succede in termini di $\lambda_{\text{phys}} \propto a$, e non solo comoventi.

Una regione di dimensioni $a(t_i) r_H(t_i)$ si "gonfia" di un fattore

$$Z = \frac{a(t_f)}{a(t_i)}$$

$$Z = \frac{a(t_f)}{a(t_i)} = \exp \left\{ \int_{t_i}^{t_f} dt' H(t') \right\} = e^{N_{\text{inf}}} \quad \xrightarrow{\text{n. di e-foldings}}$$

$$N_{\text{inf}} = \int_{t_i}^{t_f} dt' H(t') = \log \left(\frac{a_f}{a_i} \right)$$

$$N = \log\left(\frac{a_f}{a_i}\right) = \int_{t_i}^t H dt$$

Calcolo del n. di e-folds necessario per risolvere il problema dell'orizzonte (2)

$$\tau_H(t_0) \leq \tau_H(t_i)$$

$$a_0 \tau_H(t_0) = H_0^{-1} \leq \tau_H(t_i) a_0 = \tau_H(t_i) a_i \frac{a_0}{a_i} = H_I^{-1} \left(\frac{a_0}{a_i} \right) \Rightarrow$$

$$\left(\frac{a_i}{a_0} \right) H_0^{-1} \leq H_I^{-1}$$

$$\left(\frac{a_i}{a_f} \right) \left(\frac{a_f}{a_0} \right) H_0^{-1} \leq H_I^{-1} \rightarrow e^{-N} \left(\frac{T_f}{T_0} \right) H_0^{-1} \leq H_I^{-1} \Rightarrow$$

$$N \geq \ln\left(\frac{T_0}{H_0}\right) + \ln\left(\frac{H_I}{T_f}\right)$$

$\stackrel{10^{13} \text{ GeV}}{\sim} \quad \stackrel{10^{-42} \text{ GeV}}{\sim}$

$$N \gtrsim (60 \div 70)$$

T_f : temperatura di reheating

$$H_I^{-1} \approx \frac{8\pi}{3M_{Pl}^2} \cdot g_* \sim \frac{8\pi}{3M_{Pl}^2} \cdot \frac{1}{30} g_* T^4 \sim \frac{T_f^4}{M_{Pl}^2} \sim \frac{T_f^4}{T_{Pl}^2}$$

$$\Rightarrow N \geq \ln\left(\frac{T_0}{H_0}\right) + \ln\left(\frac{T_f}{T_{Pl}}\right)$$

$\stackrel{10^{-42} \text{ GeV}}{\sim} \quad \stackrel{10^{-3} \text{ GeV}}{\sim}$

$\approx 67 \quad \in [0, \infty] \quad \text{se considero un intervallo } 10^5 \leq \frac{T_f}{T_{Pl}} \leq 1$

$$N \gtrsim [56, 67]$$

Problema della fittazione (modo veloce di impostare il problema e la soluzione)

$$\dot{H}^2 = \frac{8\pi G}{3} \rho - \frac{k}{a^2} \quad (1)$$

$$\dot{\rho} = -3H(\rho + p) \rightarrow (2) \quad \rho \propto a^{-3(1+w)}$$

$$\rho_c = \frac{3H^2}{8\pi G} \quad \Omega(t) = \frac{\rho}{\rho_c} = \frac{3H^2}{8\pi G} \cdot \frac{8\pi G \rho}{3H^2}$$

Quindi, dividendo per H^2 , da (1) ho:

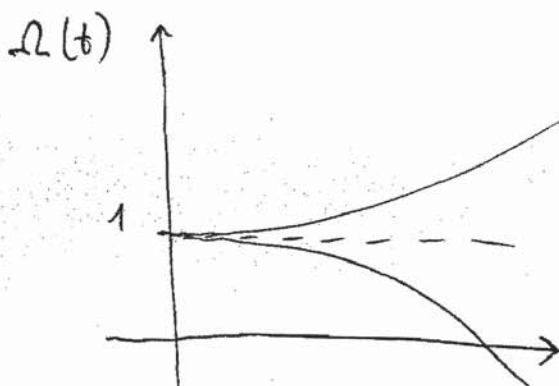
$$\Omega(t)-1 = \frac{k}{a^2 H^2} = \frac{k}{\dot{a}^2} \equiv k r_H^2(t)$$

Se l'univ. è perfettamente fatto $\Omega(t)=1$; se $\Omega(t) \neq 1$ anche la una piccola quantità siccorme durante l'epoca dominata dalla rad. adiome e delle matern. $r_H(t)$ cresce, $|\Omega(t)-1|$ cresce col tempo.

(col tempo il paramet. funziona $\propto a$ e k diventa sempre più importante)

$$R.D.: H^2 \propto \rho a^{-3} \rightarrow |\Omega-1| \propto \frac{1}{a^2 \dot{a}^2} = a^2$$

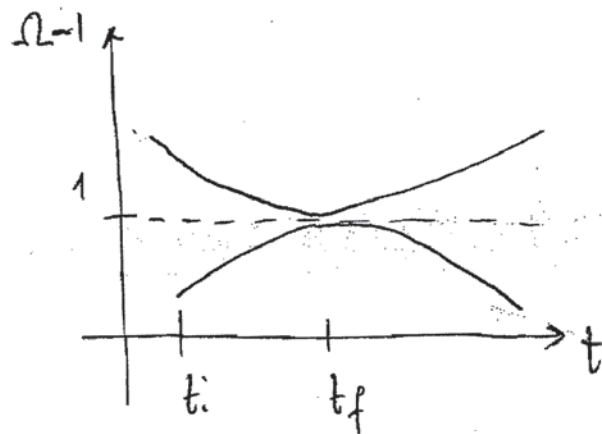
$$M.B.: H^2 \propto \rho a^{-3} \rightarrow |\Omega-1| \propto \frac{1}{a^2 \dot{a}^3} = a$$



Soluzione inflazionale per i problemi delle piattezzze:

$$\Omega(t)-1 = k r_H^2(t)$$

durante l'inflazione $\ddot{a} > 0$ e $r_H(t)$ decresce molto rapidamente \Rightarrow



ho un andamento simmetrico & e durante l'inflazione $|\Omega - 1| \rightarrow 0$
viene schiacciato molto vicino allo zero

Ricordiamo i limiti osservativi più recenti su $-(\Omega_0 + 1) = \Omega_k = -\frac{K}{a^2 H^2}$:

$|\Omega_k| < 0.005$ (95% C.L.), quindi diciamo $|\Omega_k| < 10^{-2}$ (95% C.L.)

wie man aus der Friedmann Gleichung folgt (vgl. vorherige Lektion)

$$\ddot{a} = \frac{8\pi}{3} G p a - k =$$

$$\Omega(t) - 1 = \frac{k}{a^2 H^2} = \frac{k}{\dot{a}^2}$$

$$\frac{k}{\dot{a}^2} + \dot{a}^2 = \frac{8\pi}{3} G p a^2$$

$$\frac{8\pi}{3} G p a^2 = \Omega(t) \cdot \dot{a}^2 = \Omega(t) \cdot \frac{k}{\Omega(t)-1} \Rightarrow$$

$$(1 - \Omega^{-1}) \cdot p \dot{a}^2 = \text{const.}$$

$$\boxed{(1 - \Omega^{-1}) p \dot{a}^2 = \text{const}} = (\Omega_0^{-1} - 1) p_0 a_0^2 \quad (*)$$

$t < t_{\text{eq}}$:

$$(\Omega^{-1} - 1) \cdot p_{\text{eq}} \left(\frac{a_{\text{eq}}}{a} \right)^4 \cdot \frac{\dot{a}^2}{a_0^2} \cdot \frac{1}{p_0} = (\Omega_0^{-1} - 1)$$

$$p_{\text{eq}} = p_0 \left(\frac{a_0}{a_{\text{eq}}} \right)^3$$

$$(\Omega^{-1} - 1) \cdot p_0 \left(\frac{a_0}{a_{\text{eq}}} \right)^3 \cdot \left(\frac{a_{\text{eq}}}{a} \right)^4 \cdot \frac{\dot{a}^2}{a_0^2} \cdot \frac{1}{p_0} = (\Omega_0^{-1} - 1)$$

$$(\Omega^{-1} - 1) \frac{a_0 \cdot a_{\text{eq}}}{a^2} = (\Omega_0^{-1} - 1)$$

$$(\Omega^{-1} - 1) = (\Omega_0^{-1} - 1) \frac{a^2}{a_0 \cdot a_{\text{eq}}} = (\Omega_0^{-1} - 1) \cdot (1 + z_{\text{eq}})^{-1} \cdot \left(\frac{T_0}{T} \right)^2$$

$$(1 + z_{\text{eq}}) \approx 2.34 \times 10^4 \Omega_{\text{reh}}^2 \rightarrow \Omega(t_p) \approx 1 + (\Omega_0^{-1} - 1) \cdot 10^{-60}$$

$$\rightarrow (\Omega^{-1} - 1) \approx (\Omega_0^{-1} - 1) \cdot \left(\frac{T_{\text{Pl}}}{T} \right)^2 \cdot 10^{-60} (\Omega_{\text{reh}}^2)$$

$$\text{Pertanto, visto che } |\Omega_0 - 1| < 10^{-2} \rightarrow |\Omega - 1|_{t_{\text{Pl}}} < 10^{-62}; \quad \text{(10^62)}$$

quindi se oggi c'è anche una piccola deviazione di Ω_0 da 1, a tempi primordiali Ω deve essere determinato ad essere vicino ad 1 con una precisione di una parte su 10^{62} (almeno), senza essere esattamente 1 (problema di "fine-tuning").

Qui abbiamo scelto $t = t_{\text{Pl}}$, ma se anche scegliessimo $t = t_{\text{materia intesa}} \quad (\text{T}_N \approx 1 \text{ MeV})$ otterremmo in ogni caso $|\Omega - 1|_{t_{\text{mater.}}} < 10^{-18}$.

Calcolo del n°. e-folds necessario per risolvere il problema (13)

$$(\Omega_i^{-1} - 1) \frac{g_i a_i^2}{f_i a_i^2} = (\Omega_0^{-1} - 1) \frac{g_0 a_0^2}{f_0 a_0^2} \quad \text{della piattaforma}$$

$\frac{1 - \Omega_i^{-1}}{1 - \Omega_0^{-1}} \geq 1$: condizione per risolvere il problema della piattaforma.

$$(\Omega_i^{-1} - 1) = (\Omega_0^{-1} - 1) \frac{g_0 a_0^2}{f_0 a_0^2} = (\Omega_0^{-1}) \frac{g_0 a_0^2}{f_0 a_0^2} \frac{g_{eq} a_{eq}^2}{f_{eq} a_{eq}^2} \frac{f_f a_f^2}{f_i a_i^2}$$

In tutta generalità:

$$\frac{f_f a_f^2}{f_i a_i^2} \sim \left(\frac{a_f}{a_i} \right)^{-3(1+3W_{inf})}$$

e consideriamo i periodi:

$$g_{inf} \propto a^{-3(1+W_{inf})}; \quad W_{inf} < -\frac{1}{3}$$

$$[t_f, t_{eq}] \cdot g^2 a^{-4}$$

$$[t_{eq}, t_0] \cdot g^2 a^{-3}$$

$$\left(\frac{a_f}{a_i} \right)^{-3(1+3W_{inf})} = \frac{\Omega_i^{-1}}{\Omega_0^{-1}} \cdot X$$

$$\begin{aligned} \left(\frac{a_0}{a_{eq}} \right)^{-1} &\downarrow \\ \left(\frac{a_f}{a_{eq}} \right) &\downarrow \\ \left(\frac{a_{eq}}{a_f} \right)^{-2} &\downarrow \\ &-(1+3W_{inf}) \end{aligned}$$

$$X = \frac{a_0}{a_{eq}} \left(\frac{a_i}{a_{eq}} \right)^2 \left(\frac{a_{eq}}{a_f} \right)^2 = \frac{a_0 a_{eq}}{a_f^2} = (1 + \tau_{eq}) \left(\frac{T_f}{T_0} \right)^2 = (1 + \tau_{eq}) \underbrace{\left(\frac{T_f}{T_0} \right)}_{\approx 10^{60}} \cdot \left(\frac{T_f}{T_{Pl}} \right)^2$$

$$N \geq \frac{\ln(X)}{|1+3W_{inf}|} = \frac{60 \left[2.3 + \frac{1}{30} \ln \left(\frac{T_f}{T_{Pl}} \right) \right]}{|1+3W_{inf}|}$$

$$N_{min} = \ln(X) \sqrt{\dots} ; \quad \text{se } W_{inf} \approx -1 \text{ e } 10^5 \leq T_f \leq 1 \rightarrow N \geq 60 \div 70.$$

$$N_{\min} \in (60 \div 70)$$

Predittione dei modelli inflazionari
per le parametri di densità oggi Ω_0

(14)

$$N \geq N_{\min}$$

$$N = p \cdot N_{\min} \quad p > 1$$

relazione tra $(\Omega_0^{-1}-1)$ e $(\Omega_i^{-1}-1)$: dal calcolo di prima

$$\left(\frac{a_p}{a_i} \right)^{-\frac{1}{(1+3W_{\text{inf}})}} \sim \frac{(1-\Omega_i^{-1})}{(1-\Omega_0^{-1})} \cdot X \sim \frac{(1-\Omega_i^{-1})}{(1-\Omega_0^{-1})} e^{\frac{N_{\min}|1+3W_{\text{inf}}|}{l}}$$

$$N_{\min} = \frac{\log X}{|1+3W_{\text{inf}}|}$$

$$\rightarrow e^{\frac{pN_{\min}|1+3W_{\text{inf}}|}{l}} \sim \left(\frac{1-\Omega_i^{-1}}{1-\Omega_0^{-1}} \right) \cdot e^{\frac{N_{\min}|1+3W_{\text{inf}}|}{l}}$$

$$\rightarrow (\Omega_0^{-1}-1) \sim \frac{\Omega_i^{-1}-1}{\exp \left[(p-1)N_{\min}|1+3W_{\text{inf}}| \right]} \sim \underbrace{(\Omega_i^{-1}-1)}_{\sim 1}^{10} - [60 + \ln \left(\frac{l}{T_P} \right)]$$

se prendo per esempio $p=2$ e
 $W_{\text{inf}} \approx -1$

(15)

Poiché durante l'inflessione $H \approx \text{const.} \rightarrow$

$$|\Omega - 1| \propto \frac{1}{a^2 H^2} \propto \frac{1}{a^2}$$

$$\frac{|\Omega - 1|_{t_f}}{|\Omega - 1|_{t_i}} \sim \left(\frac{a_i}{a_f} \right)^2 = e^{-2N}$$

Prendo $|\Omega - 1|_{t_f} \sim 1$.

Ricordando che oggi $|\Omega_0 - 1| < 10^{-2}$ e che $\Omega(t_{p1}) \approx 1 + (\Omega_0 - 1) \times 10^{-60}$, chiediamo che $|\Omega - 1|_{t_{p1}} < 10^{-62}$

Se prendo $|\Omega - 1|_{t_f} \sim |\Omega - 1|_{t_{p1}} \Rightarrow$ devo richiedere $\boxed{N \gtrsim 70}$

Il calcolo qui sopra è un altro modo di vedere se il n. di e-folds necessari per risolvere il problema della finezza (più approssimato e veloce di quello a pag. 13). Mette in evidenza il carattere di soluzione attrattore dell'inflessione verso quelle condizioni iniziali che altrimenti, nell'ambito del modello del Big-Bang caldo, apparirebbero come estremamente peculiari.